

斜角格子桁の振動性状について

北海道大学 正員 工博 渡辺 昇
 北見工業大学 正員 菅原 登
 桜井鉄工 正員 田宮 哲夫
 桜井鉄工 正員 山下 六郎

1. まえがき 斜角格子桁および斜板の振動に関する研究は、従来から種々行われているが、ここでは、主桁に薄肉断面形を採用して主桁のねじり剛性を考慮し、かつ、主桁と横桁が直交している斜角格子桁について、多質系としての振動の取り扱いを以て固有振動周期を求め、斜角度の変化や断面値の変化等によって振動性状がどのように傾向を示すかを検討した。

2. 固有振動周期の計算 特ク、図1のようない主桁と横桁が直交している斜角格子桁において、変換条件として各主桁は曲げ変形に対しては両端単純支持であり、ねじり変形に対しては両端固定支持とする。また、主桁と横桁の連結条件としてこれらは剛結であるとするとき、これは円的12次の不変換構造である。この場合について主桁a, b, cは8分割長、横桁1, 2, 3は各主桁間中央変換の節点構造を求める(文献[1])。すなわち、2質系としての振動の解析を可とする。

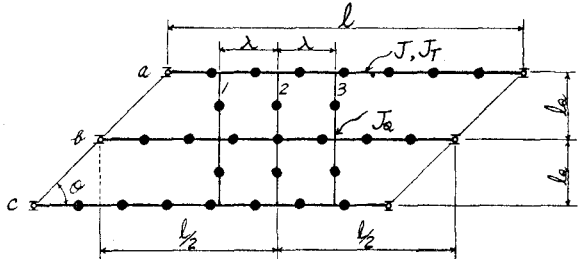


図-1

主桁のねじり剛性を考慮する場合は、理論的には無歪変位と回転変位による慣性力の外にねじり変位による慣性力をも考えることとなるが、回転変位およびねじり変位による影響は小さいと見て無視すれば、このときの固有振動周期は式(1)の行列式によって求めることができる。

$$\begin{vmatrix}
 (\alpha_{11}^2 \pi_s^2 - \beta \omega^2) & \alpha_{12} \pi_s^2 & \dots & \alpha_{121} \pi_s^2 & \alpha_{122} \pi_s^2 & \dots & \alpha_{12n} \pi_s^2 & \alpha_{127} \pi_s^2 \\
 \alpha_{21} \pi_s^2 & (\alpha_{22}^2 \pi_s^2 - \beta \omega^2) & \dots & \alpha_{221} \pi_s^2 & \alpha_{222} \pi_s^2 & \dots & \alpha_{22n} \pi_s^2 & \alpha_{227} \pi_s^2 \\
 \dots & \dots \\
 \dots & \dots \\
 \alpha_{261} \pi_s^2 & \alpha_{262} \pi_s^2 & \dots & \alpha_{2621} \pi_s^2 & \alpha_{2622} \pi_s^2 & \dots & (\alpha_{262n}^2 \pi_s^2 - \beta \omega^2) & \alpha_{2627} \pi_s^2 \\
 \alpha_{271} \pi_s^2 & \alpha_{272} \pi_s^2 & \dots & \alpha_{2721} \pi_s^2 & \alpha_{2722} \pi_s^2 & \dots & \alpha_{272n} \pi_s^2 & (\alpha_{2727}^2 \pi_s^2 - \beta \omega^2)
 \end{vmatrix} = 0 \dots \dots (1)$$

但し $\alpha_{ij} = j$ 長に $P=1$ を載荷し長と i の変換の構造
 $i = j = 1, 2, \dots, 21$ は主桁の質点、 $i = j = 22, 23, \dots, 27$ は横桁の質点
 $\pi_s =$ 主桁1本の重量の $1/8$
 $\pi_a =$ 横桁の主桁間重量
 $\omega =$ 振動の角速度

式(1)を解くことによる計算はすべて電子計算機によって行なった。いま、 $l=24^m$, $\lambda=4^m$, $l_a=2.5^m$,

$EJ=82500\text{tm}^2$, $GJ_f=47733\text{tm}^2$, $EJ_w=41250\text{tm}^2$ を一定にして θ を 20° から 90° (直前格子ザル) に変化させるときの第1次固有振動周期は図2のようである。また、 $l=24\text{m}$, $\lambda=4\text{m}$, $l_w=2.5\text{m}$, $\theta=45^\circ$, $EJ=82500\text{tm}^2$, $GJ_f=47733\text{tm}^2$ を一定にして J_w/J を 0.01 から 1.0 に変化させるときの第1次固有振動周期は図3のようである。なお、一例として θ を変化させるとき $\theta=45^\circ$ の場合の1次モード、2次モード、3次モード、4次モードは図4のようになっている。

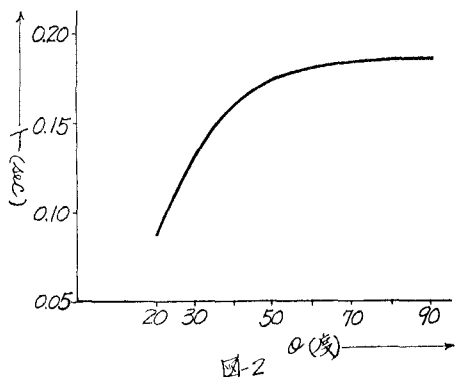


図2

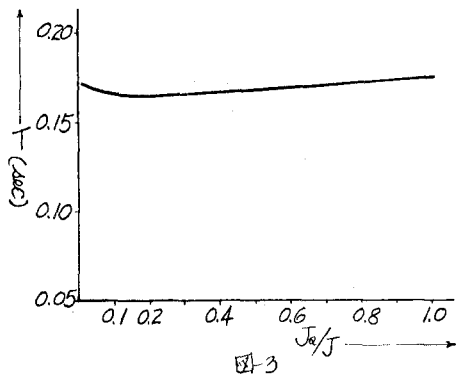


図3

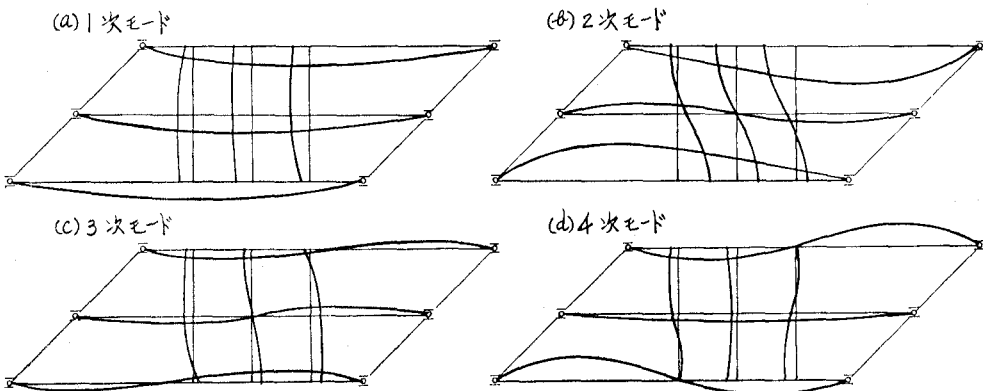


図4

3. あとがき 図2および図3から明らかになるように、主ザルのねじり剛性を考慮した斜前格子ザルの固有振動周期は、斜前度を変化させるときは斜前度が小さくなるにつれて小さくなり、ここで、 45° 以下では急激に小さくなるが、主ザルと横ザルの断面2次モーメントの比を変化させるときにはそれ程の変化がない。このことは、斜前度を変化させるときは斜前度が小さくなるにつれて無直交性は小さくなるが、主ザルと横ザルの断面2次モーメントの比を変化させても無直交性にも小程の変化を生じていないことに対応している。

以上のことは、特定の図1のようにな主ザルと横ザルの本が直交している斜前格子ザルについての振動性状を調べたもので、主ザルおよび横ザルの本数が任意の構造のものに、そのまま適用できるものではないが、類似としては類似のものに適用できると考えられる。

参考文献 [1] 渡辺 昇：格子ザルの理論と計算，夜報堂，1965

[2] Ping-Chun Wang: Numerical and Matrix Methods in Structural Mechanics, John Wiley, 1966